



بررسی اثرات ضدمیکروبی و ضدبیوفیلمی نانوذرات آلمینیوم (Al_2O_3) و تاثیر آن بر بیان ژن بیوفیلم (*mrkA*) در ایزوولهای بالینی کلبسیلا پنومونی

آتنا سیفی: کارشناس ارشد، گروه زیست شناسی، واحد رودهن، دانشگاه آزاد اسلامی، رودهن، ایران

امیر میرزا لی: استادیار، گروه زیست شناسی، واحد پرند، دانشگاه آزاد اسلامی، پرند، ایران (*نوسنده مسئول) Amir_mirzaie92@yahoo.com

احسان احسانی: استادیار، گروه زیست شناسی، واحد رودهن، دانشگاه آزاد اسلامی، رودهن، ایران

افشین محمودزاده: استادیار، گروه زیست شناسی، واحد رودهن، دانشگاه آزاد اسلامی، رودهن، ایران

چکیده

کلیدواژه‌ها

کلبسیلا پنومونی،
نانوذرات آلمینیوم،
اثرات ضدمیکروبی،
ضدبیوفیلمی،
بیان ژن

تاریخ دریافت: ۱۴۰۰/۰۴/۰۸
تاریخ چاپ: ۱۴۰۰/۰۷/۰۶

زمینه و هدف: کلبسیلا پنومونی یکی از پاتوژن‌های فرصت طلب بیمارستانی می‌باشد که به دلیل مقاومت‌های آنتی بیوتیکی و تشکیل بیوفیلم بیماری‌های شدید ایجاد می‌کند و بنابراین استفاده از ترکیبات ضدمیکروبی جدید علیه آن پیشنهاد می‌شود. هدف از این مطالعه بررسی اثرات ضدمیکروبی، ضدبیوفیلمی و آنالیز بیان ژن بیوفیلم *mrkA* در سویه‌های بالینی کلبسیلا پنومونی می‌باشد.

روش کار: در این مطالعه تجربی، تعداد ۱۰۰ نمونه بالینی خون، ادرار، مایع مغزی-نخاعی و تخم جمجم آوری گردید و سویه‌های کلبسیلا پنومونی با استفاده از روش‌های میکروبیولوژی جذسازی و شناسایی شد. به دنبال آن اثرات ضدمیکروبی و ضدبیوفیلمی نانوذرات آلمینیوم به ترتیب با استفاده از روش کمترین غلظت مهارکنندگی (MIC) و میکروتیتر پلیت بررسی شد. در انتهای میزان بیان ژن بیوفیلم *mrkA* در سویه‌های کلبسیلا پنومونی با استفاده از روش Real Time PCR مطالعه شد.

یافته‌ها: نتایج جداسازی میکروبی نشان داد که از میان ۱۰۰ نمونه بالینی، تعداد ۲۰ ایزووله مربوط به کلبسیلا پنومونی بودند. نتایج ضدمیکروبی نشان داد که سویه‌های کلبسیلا پنومونی دارای MIC میان ۲۵۰ تا ۲۰۰۰ میکروگرم در میلی لیتر بودند. هم چنین نتایج نشان داد که در غلظت زیرحد مهارکنندگی، نانوذرات آلمینیوم دارای اثرات چشمگیر ضدمیکروبی و ضدبیوفیلمی معناداری بودند ($P < 0.05$). هم چنین نانوذرات آلمینیوم میزان بیان ژن بیوفیلم *mrkA* را بطور معناداری در سویه‌ها کاهش دادند ($P < 0.05$).

نتیجه‌گیری: با توجه به نتایج این مطالعه، نانوذرات آلمینیوم دارای اثرات چشمگیر ضدمیکروبی و ضدبیوفیلمی داشتند که می‌توان با مطالعات بیشتر از این ناقوژه به عنوان کاندید ترکیب ضدمیکروبی استفاده نمود.

تعارض منافع: گزارش نشده است.

منبع حمایت‌کننده: حامی مالی ندارد.

شیوه استناد به این مقاله:

Seifi A, Mirzaie A, Ehsani E, Mahmoodzadeh A. Evaluating the antibacterial biofilm inhibitory activity of aluminium (Al_2O_3) nanoparticles against clinical isolates of *Klebsiella pneumoniae*. Razi J Med Sci. 2021;28(7):37-49.

*انتشار این مقاله به صورت دسترسی آزاد مطابق با CC BY-NC-SA 3.0 صورت گرفته است.



Original Article

Evaluating the antibacterial biofilm inhibitory activity of aluminium (Al_2O_3) nanoparticles against clinical isolates of *Klebsiella pneumoniae*

Atena Seifi: MA, Department of Biology, Roodehen Branch, Islamic Azad University, Roodehen, Iran

✉ Amir Mirzaei: Assistant Professor, Department of Biology, Parand Branch, Islamic Azad University, Parand, Iran
(*Corresponding author) Amir_mirzaie92@yahoo.com

Ehsan Ehsani: Assistant Professor, Department of Biology, Roodehen Branch, Islamic Azad University, Roodehen, Iran

Afshin Mahmoodzadeh: Assistant Professor, Department of Biology, Roodehen Branch, Islamic Azad University, Roodehen, Iran

Abstract

Background & Aims: The genus Klebsiella belongs to the family Enterobacteriaceae, which consists of gram-negative and immobile species that have mucosal colonies and live in the gastrointestinal tract (1). Among Klebsiella species, *Klebsiella pneumoniae* is one of the most common opportunistic pathogens that cause serious diseases (3). These strains have become resistant to many antibiotics and one of the strategies of antibiotic resistance of *K. pneumoniae* strains is biofilm formation (4-6). One of the important genes in biofilm formation in this bacterium is *mrkA* gene and this gene encodes MrkA protein, which is one of the important proteins of type 3 fimbriae (7). Excessive use of antibiotics leads to increasing antibiotic resistance of these bacteria and therefore the use of alternatives to treatment other than antibiotics is important. One of these solutions is the use of nanotechnology (8). So far, few studies have been conducted to investigate the antimicrobial and antifouling effects of aluminum nanoparticles against bacterial clinical strains. The aim of this study was to investigate the antimicrobial and anti-biofilm effects of Al_2O_3 nanoparticles against clinical strains of *K. pneumoniae*.

Methods: In this experimental study, 100 clinical samples including wounds, blood, urine, and cerebrospinal fluid were collected from different hospitals in Tehran (Imam Khomeini Hospital and Pars Hospital). Subsequently, strains of *K. pneumoniae* were identified by growing one in McConkey agar medium, Gram staining, and biochemical tests (9). Antibiotic resistance pattern of *K. pneumoniae* strains was determined by disk diffusion method according to Clinical and Laboratory Standards Institute (CLSI) instruction. Briefly, adjusted cultures to give a 0.5 McFarland concentrations of the *K. pneumoniae* strains were inoculated into Muller-Hinton broth (Oxoid, UK) and the susceptibility of the strains to the antibiotics including ampicillin, gentamicin, amikacin, tetracycline, cefepime, ciprofloxacin, levofloxacin and trimethoprim sulfamethoxazol was evaluated (10). In order to investigate the presence of biofilm in *K. pneumoniae* strains, microtiter plate quantification method was used (11). In this study, Al_2O_3 nanoparticles were purchased from the American company US nano. In order to investigate the physicochemical properties of Al_2O_3 nanoparticles, FTIR, electron microscopy (SEM), XRD and DLS tests were used. The SEM, DLS, XRD and FTIR were used for study of morphology, size, nanomaterial characterization and analyze the structure of matter at the molecular scale based on the resonant vibration modes of various molecules on the aluminum nanoparticles, respectively. In order to investigate the antibacterial effects of Al_2O_3 nanoparticles, the microdilution method was used in a 96-well plate according to the CLSI standard (16). Briefly, various concentrations of Al_2O_3 nanoparticles including 15.62, 31.25, 62.5, 125, 250, and 500 $\mu\text{g}/\text{mL}$, were added into 96-well containing each *K. pneumoniae* strain (500 μl) with 5×10^5 concentration, and the 96-well plates were incubated 24 h at 37 °C. The next day, absorbance was taken using UV-visible spectrophotometer at 600 nm and the concentration giving the least optical density corresponds to minimum inhibitory concentration (MIC) of nanoparticles for that particular

Keywords

Culture of football fans,
Psycho-social factors

Received: 29/06/2021

Published: 28/09/2021

microorganism. In order to quantitatively study the anti-biofilm effects of aluminum nanoparticles, Crystal violet (CV) assay was used (12). A 96-well plate-based Crystal violet (CV) assay was used for evaluating of anti-biofilm efficacy of Al_2O_3 nanoparticles. The biofilm-forming *K. pneumoniae* strains were cultured into 96 well microtiter plates for 24 h at 37 °C. The *K. pneumoniae* strains were then treated with sub-MIC values of Al_2O_3 nanoparticles for 24 h incubation at 37 °C. All the wells were then again washed with PBS three times and fixed with methanol for 15 minutes. The plate was air dried for 30 minutes and 0.1% CV solution was added to each well and incubated at room temperature for 20 minutes. After washing with distilled water, 33% acetic acid was added to each well and absorbance was taken at 590 nm. Mean absorbance values of each sample was calculated and compared with the mean values of controls.

Expression analysis of *mrkA* gene in *K. pneumoniae* strains under control MIC of free curcumin and curcumin were investigated using the Quantitative Real-Time Polymerase Chain Reaction (qRT-PCR) method through specific primers. For this purpose, after treating strains, total RNA was extracted using a high purity RNA extraction kit (Qiagen, USA) according to the manufacturer protocol. Then, cDNA synthesis was performed through the Qiagen Press Kit based on the manufacturer protocol. The qRT-PCR method was performed using SYBER Green containing Master Mix (Ampriqon, Denmark). The 16S rRNA gene is used as your home gene and the relative expression of the gene was calculated by $\Delta\Delta\text{CT}$ method.

Statistical calculation of this study was performed using Graph pad prism software and the results were analyzed by one way ANOVA. The results are displayed as mean \pm standard deviation (SD) and $P < 0.05$ was considered significant.

Results: In this study, lactose positive and mucoid colonies were isolated from 100 clinical specimens suspected of *K. pneumoniae* and 15 strains of *K. pneumoniae* were isolated using microscopic and biochemical tests. The results of antibiotic resistance showed that 10 samples (66%) had a pattern of multidrug-resistant resistance (MDR). (MDR: strains resistant to one of the antibiotics from three different classes of antibiotics).

Microtiter plate test was used to evaluate the quantitative biofilm formation and the results showed that out of 15 strains of *K. pneumoniae*, all MDR strains (10 strains) formed biofilm, so that 5 strains formed strong biofilm (50%). 3 strains forming moderate biofilm (30%) and 2 strains (20%) forming weak biofilm.

The results of SEM and DLS showed that Al_2O_3 nanoparticles have a polyhedral structure and have an average size of 164.1 nm. The FTIR results also showed the chemical bonds associated with Al_2O_3 nanoparticles. XRD results showed the presence of peaks of 31.8, 35.5, 40.5, 46.7 and 47.98, which confirms the Al_2O_3 nanoparticles.

Antimicrobial and anti-biofilm effects of Al_2O_3 nanoparticles

The results showed that Al_2O_3 nanoparticles had antimicrobial properties at the lowest concentration of 500 $\mu\text{g}/\text{ml}$ and the highest concentration of 2000 $\mu\text{g}/\text{ml}$. The results of this test showed that Al_2O_3 nanoparticles at sub-inhibitory concentration (sub-MIC) significantly reduced the biofilm formation (light absorption was significantly reduced compared to the control group) ($P < 0.05$).

The results showed that the amplification of the gene was done correctly and the analysis of the melting curve shows the amplification of the target gene. Also, after treatment of biofilm-forming strains with sub-inhibitory concentrations of Al_2O_3 nanoparticles, the expression of *mrkA* gene in all biofilm-forming strains decreased significantly compared to the 16S rRNA reference gene ($P < 0.05$), so that in some Strains expression was reduced 5 to 6-fold.

Conclusion: The results of this study showed that aluminum nanoparticles have antimicrobial and anti-biofilm effects against drug-resistant *K. pneumoniae* strains and can reduce the expression of biofilm gene. Therefore, this nanoparticle can be used as a candidate for antimicrobial and antifouling film for future studies.

Conflicts of interest: None

Funding: None

Cite this article as:

Seifi A, Mirzaie A, Ehsani E, Mahmoodzadeh A. Evaluating the antibacterial biofilm inhibitory activity of aluminium (Al_2O_3) nanoparticles against clinical isolates of *Klebsiella pneumoniae*. Razi J Med Sci. 2021;28(7):37-49.

*This work is published under CC BY-NC-SA 3.0 licence.

اتمهای اکسیژن هستند که بسته بندی نزدیک شش ضلوع را با یونهای آلومینیوم پر می‌کنند و دارای کاربردهای فراوان در تشخیص، تحويل دارو و اثرات ضدمیکروبی می‌باشد (۱۱). رفتار ضدمیکروبی نانوذرات آلومینیوم در برخی از مطالعات مورد بررسی قرار گرفته است. Mohammad Azam Ansari سال ۲۰۱۳ اثرات ضدمیکروبی نانوذرات اکسید آلومینیوم را علیه سویه‌های مقاوم به دارو استافافیلوکوکوس اورئوس مورد مطالعه قرار دادند. نتایج این مطالعه نشان داد که این نانوذرات دارای کمترین غلظت مهارکنندگی بین ۱۷۰۰ تا ۳۴۰۰ میکروگرم در میلی لیتر بودند. هم چنین سویه‌های استافافیلوکوکوس اورئوس هیچ رشدی در غلظت ۲۰۰۰ میکروگرم در میلی لیتر نداشتند (۱۲). تاکنون مطالعات کمی در زمینه بررسی اثرات ضدمیکروبی و ضدبیوفیلمی نانوذرات اکسید آلومینیوم علیه سویه‌های بالینی باکتریایی انجام گرفته است و هم چنین به دلیل افزایش بیش از حد مقاومت‌های آنتی‌بیوتیکی استفاده از راهکارهای جایگزین جهت درمان این باکتری حائز اهمیت است و بنابراین هدف از این مطالعه بررسی اثرات ضدمیکروبی و ضدبیوفیلمی نانوذرات اکسید آلومینیوم علیه سویه‌های بالینی کلبسیلا پنومونیه می‌باشد.

روش کار جمع‌آوری نمونه، جداسازی و شناسایی سویه‌های کلبسیلا پنومونیه

در این مطالعه تجربی، تعداد ۱۰۰ نمونه بالینی شامل زخم، خون، ادرار و مایع مغزی نخاعی از بیمارستان های مختلف شهر تهران (بیمارستان امام خمینی و بیمارستان پارس) جمع آوری شد. به دنبال آن، شناسایی سویه‌های کلبسیلا پنومونیه توسط کشت در محیط‌های کشت مک کانکی آگار، رنگ آمیزی گرم و تست‌های بیوشیمیایی شناسایی شد (۱۳).

بررسی الگوی مقاومت آنتی‌بیوتیکی

الگوی مقاومت آنتی‌بیوتیکی سویه‌های کلبسیلا پنومونیه توسط روش دیسک دیفیوزن بر اساس Clinical and Laboratory Standards Institute (CLSI) انجام گرفت. ابتدا غلظت نیم مک

مقدمه

جنس کلبسیلا متعلق به خانواده انتروباکتریا سه می‌باشد که متشکل از گونه‌های گرم منفی و فاقد حرکت است که دارای کلنی‌های مخاطی شکل می‌باشند و در مجاری گوارشی زیست می‌کند (۱). جنس کلبسیلا دارای ۴ گونه کلبسیلا پنومونیه، کلبسیلا اکسی توکا، کلبسیلا تری جنا و کلبسیلا پلاتنتیکولا می‌باشد (۲). از میان این گونه‌ها، کلبسیلا پنومونیه از پاتوژنها فرصت طلب شایع می‌باشد که بیماری‌های جدی مانند سپتی سمی، پنومونی، عفونت مجاری ادراری، ناهنجاری‌های مزمون ریوی و عفونت‌های فرصت طلب بیمارستانی در بیماران دارای نقص سیستم ایمنی ایجاد می‌کند (۳). این سویه‌ها به دلیل تولید آنزیم‌های بتالاکتاماز وسیع الطیف به بسیاری از آنتی‌بیوتیک‌های بتالاکتام، آمینوگلیکوزیدها و فلئوروکینولون‌ها مقاوم شده‌اند (۴). یکی از استراتژی‌های مقاومت آنتی‌بیوتیکی سویه‌های کلبسیلا پنومونیه تشکیل بیوفیلم می‌باشد (۵). سویه‌های کلبسیلا پنومونیه می‌توانند یک لایه ضخیم از بیوفیلم خارج سلولی تولید کنند که اتصال باکتری به سطوح زنده و غیرزنده را میانجی گردی می‌کند و باعث ایجاد مقاومت به آنتی‌بیوتیک‌ها می‌شود (۶). یکی از ژنهای مهم در تشکیل بیوفیلم در این باکتری ژن MrkA را کد می‌کند که یکی از پروتئین‌ها مهم فیبریریه تیپ ۳ می‌باشد (۷). استفاده بیش از حد آنتی‌بیوتیک‌ها باعث مقاومت آنتی‌بیوتیکی روزافزون این باکتری‌ها می‌شود و بنابراین استفاده از جاگزین‌های درمانی غیر از آنتی‌بیوتیک حائز اهمیت می‌باشد. یکی از این راهکارها، استفاده از تکنولوژی نانو می‌باشد (۸).

نانوتکنولوژی یکی از حوزه‌های در حال پیشرفت است که کاربردهای فراوان در علم و تکنولوژی به منظور مهندسی مواد جدید دارد. بطور کلی نانوذرات قلزی دارای خصوصیات منحصر به فرد نسبت به فلزات خود می‌باشند (۹). نانوذرات اکسید فلزی دارای پایداری بیشتر، سمیت کمتر و انتخابی می‌باشد و یکی از این نانوذرات فلزی، نانوذرات اکسید آلومینیوم می‌باشد، بطوری که این نانوذرات پایدار ترمودینامیکی در دامنه وسیعی از دما هستند (۱۰). آنها مانند سنگ بنایی با

نانوذرات آلمینیوم از تست‌های FTIR، میکروسکوپ الکترونی نگاره (SEM)، XRD و DLS استفاده گردید.

میکروسکوپ الکترونی نگاره (SEM)

بررسی ریخت شناسی و اندازه نانوذرات آلمینیوم با استفاده از میکروسکوپ الکترونی نگاره (SEM) بررسی شد. تصاویر میکروسکوپ الکترونی روبشی و مطالعه نقطه به نقطه، جهت بررسی اندازه و مورفولوژی نانوذرات پس از پوشش دهی با آلمینیوم در ولتاژ زیر ۳۰ KV و تحت فشار خلاء (10^{-5} Torr) با استفاده از میکروسکوپ الکترونی مدل XL30 شرکت فیلیپس ساخت کشور ژاپن مورد مطالعه قرار گرفت. نانوذرات در مقداری آب حل شده و سوسپانسیون حاصل روی گردید آلمینیوم مورد تصویربرداری SEM قرار گرفت. دستگاه لایه نشانی آلمینیوم Sputter coater، ساخت شرکت KYKY و مدل دستگاه SBC12 بود.

الگوی پراش اشعه ایکس (XRD)

به منظور تعیین فازهای بلورین (کریستالی) نانوذرات آلمینیوم شده هم چنین اندازه گیری ثابت‌های کریستالی نانوذرات آلمینیوم از الگوی پراش اشعه ایکس (XRD) نمونه‌ها استفاده شد. تفرق اشعه ایکس امکان شناخت نوع ساختار کریستالوگرافی نانوذرات آلمینیوم را فراهم می‌کند. در این مطالعه آزمون اشعه ایکس توسط دستگاه XRD با تشعشع لامپ CuKa، در دامنه ۰ تا ۱۱۰ درجه انجام شد.

طیف‌سنجی FTIR

جهت تشخیص شناسایی پیوندهای شیمیایی ایجاد شده از دستگاه مادون قرمز (Thermo Nicolet مدل Nexus 870) ساخت کشور آمریکا استفاده شده است.

بررسی اثرات ضد میکروبی

به منظور بررسی اثرات ضد میکروبی نانوذرات آلمینیوم، روش میکرودایلوشن در پلیت ۹۶ خانه ای بر طبق استاندارد CLSI استفاده شد. به این منظور ابتدا سویه‌های کلبسیلا پنومونیک در محیط کشت مولر هینتون براث به مدت ۲۴ ساعت در دمای ۳۷ درجه سانتی گراد کشت داده شدند. نانوذره در غلظت‌های ۲۵۰ میکروگرم در هر میلی‌لیتر تا ۲۰۰۰ میکروگرم در هر میلی‌لیتر به داخل چاهک‌ها ریخته و با محیط کشت مولر هینتون براث (MHB : Mueller-Hinton) در این دسته از تمامی سویه‌ها تهیه شد و در محیط کشت مولر هینتون آگار کشت داده شد و میزان حساسیت سویه‌ها به آنتی‌بیوتیک‌های آمپی‌سیلین، جنتامایسین، آمیکاسین، تتراسایکلین، سفپیم، سپپروفولوکساسین، لووفلوكساسین و تری‌متاپریم سولفامات‌کسازول (پادتن طب-ایران) بررسی شد (۱۴).

بررسی تولید بیوفیلم

به منظور بررسی وجود بیوفیلم در سویه‌های کلبسیلا پنومونیک، از روش سنجش کمی میکروتیترپلیت استفاده شد. به این منظور ابتدا باکتری‌های جداسازی شده در محیط کشت تریپتیکاکس سوی براث (TSB) به مدت ۲۴ ساعت کشت داده شدند. به دنبال آن از هر باکتری میزان ۲ میکرولیتر به ۱۹۸ میکرولیتر از محیط کشت TSB در پلیت‌های ۹۶ خانه ای میکروتیترپلیت اضافه گردید و به مدت ۲۴ ساعت انکوبه گذاری در دمای ۳۷ درجه سانتی گراد انجام شد. به دنبال آن، تمامی چاهک‌های پلیت با ۲۰۰ میکرولیتر از بافر فسقات سالین (PBS) سه مرتبه شستشو داده شدند. چاهک‌ها با ۵۰ میکرولیتر از کریستال ویوله ۱٪ رنگ شدند و به دنبال شستشو با آب PBS سه مرتبه انجام شد. در نهایت میزان ۲۰۰ میکرولیتر از ایزوپروپانول ۰.۵٪ به چاهک اضافه گردید و میزان جذب نوری (OD) در طول موج ۵۷۰ نانومتر اندازه گیری گردید و بر اساس میزان OD باکتری‌ها به ۴ دسته بیوفیلم قوی، بیوفیلم متوسط، بیوفیلم ضعیف و بیوفیلم منفی تقسیم بندی شدند. هم چنین در این روش، از چاهک حاوی ۲۰۰ میکرولیتر محیط کشت TSB به عنوان کنترل متفاوت استفاده گردید (۱۵).

نانوذرات آلمینیوم و بررسی خصوصیات

فیزیکی و شیمیایی

در این مطالعه نانوذرات آلمینیوم (Al_2O_3) از شرکت آمریکایی US nano با مشخصات زیر خریداری شد:

- نانو پودر اکسید الومینیوم آلفا
- سایز نانوذرات ۵۰ نانومتر
- دسته نانوذرات اکسیدی
- درجه خلوص: 99.9%
- دانسیته نانوذره: 3.97 g/cm^3
- رنگ نانوذره: سفید

به منظور بررسی خصوصیات فیزیکی شیمیایی

در نظر گرفته شد (۱۷).

بررسی اثرات نانوذرات بر بیان ژن بیوفیلم mrkA

به منظور بررسی اثر نانوذرات آلومینیوم بر میزان تغییرات بیان ژن بیوفیلم *mrkA* در سویه های تشکیل quantitative Real Time دهنده بیوفیلم، از روش PCR استفاده شد. به این منظور ابتدا سویه های Sub-*mrkA* پنومونیه با غلظت زیر حد مهار کنندگی (MIC) تیمار شدند و RNA سولو توسط کیت استخراج RNA (Takara, Japan) استخراج گردید. RNA های استخراج شده توسط کیت سنتز cDNA (TaKara, Japan) به DNA مکمل (cDNA) تبدیل گردید. جهت انجام تست Real Time PCR، از پرایمر اختصاصی ژن *mrkA* استفاده نمود و ژن *rRNA 16S* به عنوان کنترل داخلی مورد استفاده قرار گرفت. توالی پرایمرهای رفت و برگشت (Forward and reverse) ژن *mrkA* به صورت ۵'-
TGCCAGTTCGGCCACTAAC-3'
GACAACAATAACCGGGATGG-3'
rRNA به صورت ۵'-
CGTCTGCCCTATCAACTTCG-3'
CGTTCTCAGGCTCCCTCT-3'
برگشت است. در ادامه، اختلاف چرخه های آستانه به دست آمده از نمونه های مورد آزمایش (نمونه های تیمار شده با نانوذره) و نمونه های کنترل (نمونه های تیمار نشده با نانوذره) محاسبه و میزان بیان ژن با استفاده از فرمول $\Delta\Delta Ct$ ، نسبت ژن هدف به ژن مرجع (*16S rRNA*) از طریق $-\Delta\Delta Ct$ محاسبه شد.

تجزیه و تحلیل آماری داده ها

محاسبه آماری این مطالعه با استفاده از نرم افزار Graph pad prism واریانس یک طرفه (One way ANOVA) مورد بررسی قرار گرفت و تفاوت بیان ژن های هدف، بین نمونه های کنترل و تیمار شده با روش آماری Tukey's HSD post-hoc test محاسبه گردید. نتایج به صورت mean±standard deviation (SD) اند و $P<0.05$ معنی دار در نظر گرفته شد.

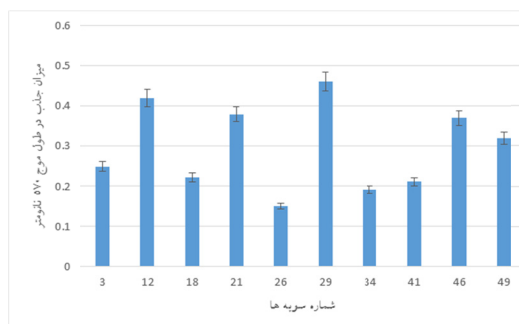
(broth مرك-آلمان)، تا حجم ۱۹۵ میکرو لیتر رسانده شد. همه چاهک ها با مقدار ۵ میکرو لیتر از کشت میکروبی سویه های کلبسیلا پنومونیه با غلظت نیم Minimum MIC مقدار Farnland اضافه گردید. مقدار Inhibitory Concentration (MIC) به عنوان کمترین غلظت مهار کننده رشد باکتری محسوب می شود. لازم به ذکر است که جهت تعیین غلظت MIC، از چاهک حاوی باکتری فاقد نانوذره به عنوان کنترل منفی و از چاهک حاوی نانوذره به همراه محیط کشت به عنوان کنترل مثبت استفاده گردید (۱۶).

بررسی اثرات ضدبیوفیلمی نانوذرات

به منظور مطالعه کمی اثرات ضدبیوفیلمی نانوذرات آلومینیوم از روش میکرو تیتر پلیت استفاده شد. ابتدا از باکتری های مورد مطالعه یک کشت ۲۴ ساعت در دمای ۳۷ درجه سانتی گراد در محیط کشت جامد ائوزین متیلن بلو آگار (EMB agar) تهیه گردید و سپس از باکتری های رشد یافته سوسپانسیون میکروبی با غلظت نیم مک فارلنده تهیه گردید. سپس از هر سویه، مقدار ۱۰۰ میکرو لیتر از سوسپانسیون میکروبی به داخل چاهک ها ریخته شد و به مدت ۲۴ ساعت انکوبه گذاری در دمای ۳۷ درجه سانتی گراد انجام گرفت. به دنبال آن، مقدار ۵۰ میکرو لیتر از غلظت زیر حد مهار کنندگی (Sub-MIC) نانوذرات آلومینیوم به چاهک ها اضافه گردید و پلیت به مدت ۲۴ ساعت در دمای ۳۷ درجه سانتی گراد انکوبه شد. بعد از گذشت ۲۴ ساعت، محلول رویی چاهک ها را خارج گردید و هر چاهک ۳ مرتبه با سرم فیزیولوژی استریل شسته شد. سپس باکتری های متصل به دیواره با ۲۵۰ میکرو لیتر از اتانل ۰.۹۶٪ ثبیت شدند. بعد از خشک شدن پلیت ها، به آن ۲۰۰ میکرو لیتر رنگ کریستال ویوله اضافه گردید. بعد از گذشت این مدت زمان، رنگ های اضافی با استفاده از PBS شسته شدند. بعد از خشک کردن پلیت ها، سنجش کمی بیوفیلم بوسیله اضافه کردن ۲۰۰ میکرو لیتر اسید استریک ۰.۳۳٪ به هر چاهک صورت گرفت و جذب آن در طول موج ۵۷۰ نانومتر توسط دستگاه ELISA Reader JASCO، V-530 (ژاپن) خوانده شد. از محیط کشت TSB بدون تلقیح باکتری به عنوان کنترل منفی و از چاهک حاوی ۱۰۰ میکرو لیتر سوسپانسیون باکتری به عنوان کنترل مثبت

جدول ۱- الگوی مقاومت آنتی بیوتیکی سویه های کلبسیلا پنومونیه

دارو (MDR)	مقاآم به چند	الگوی مقاومت آنتی بیوتیکی	شماره سویه	جدازی شده
+		آمپیسیلین، سیپرومیکوپنیک، سولفاماتاکسازول	۳	
+		تراسایکلین، سیپرومیکوپنیک، جنتامايسین	۱۲	
+		آمپیسیلین، سفپیم، لووفلوکسوسین، سولفاماتاکسازول	۱۸	
+		آمیکاسین، تراسایکلین، سیپرومیکوپنیک، آمیکاسین، تراسایکلین، سفپیم، تری متورپریم سولفاماتاکسازول	۲۱	
+		آمیکاسین، تراسایکلین، سفپیم، تری متورپریم سولفاماتاکسازول	۲۶	
+		آمپیسیلین، تراسایکلین، سفپیم، تری متورپریم سولفاماتاکسازول	۲۹	
+		آمپیسیلین، جنتامايسین، لووفلوکسوسین	۳۴	
+		جنتامايسین، آمیکاسین، تراسایکلین، لووفلوکسوسین	۴۱	
+		آمیکاسین، تراسایکلین، سیپرومیکوپنیک، آمپیسیلین، جنتامايسین، سیپرومیکوپنیک، آمپیسیلین، جنتامايسین، سولفاماتاکسازول	۴۶	
+		سیپرومیکوپنیک، آمپیسیلین، جنتامايسین، سیپرومیکوپنیک، تری متورپریم سولفاماتاکسازول	۴۹	

**شکل ۱- میزان جذب سویه ها در طول موج ۵۷۰ نانومتر. نتایج نشان می دهد که تمامی سویه ها تشکیل دهنده بیوفیلم هستند.**

بیوفیلم از روش MIC استفاده شد. در روش MIC سویه های باکتریایی تحت غلظت های ۱۲۵ میکروگرم در هر میلی لیتر تا ۱۵۰۰ میکروگرم در هر قرار گرفتند. نتایج نشان داد که نانوذرات آلومینیوم در کمترین غلظت ۵۰۰ میکروگرم در میلی لیتر و بیشترین غلظت

یافته ها

شناسایی سویه های کلبسیلا پنومونیه و الگوی مقاومت آنتی بیوتیکی

در این مطالعه از بین ۱۰۰ نمونه بالینی مشکوک به کلبسیلا پنومونیه، کلنی های لاکتوز مثبت و موکوئیدی جدازی شد و با استفاده از تست های میکروسکوپی و بیوشیمیایی تعداد ۱۵ سویه کلبسیلا پنومونیه جدازی گردید. نتایج مقاومت آنتی بیوتیکی نشان داد که تعداد ۱۰ نمونه (۶۶ درصد) دارای الگوی مقاومت آنتی بیوتیکی (MDR: multidrug-resistant) بودند. MDR: سویه های دارای مقاومت به یکی از آنتی بیوتیک ها از سه خانواده مختلف آنتی بیوتیکی (جدول ۱).

بررسی تشکیل بیوفیلم

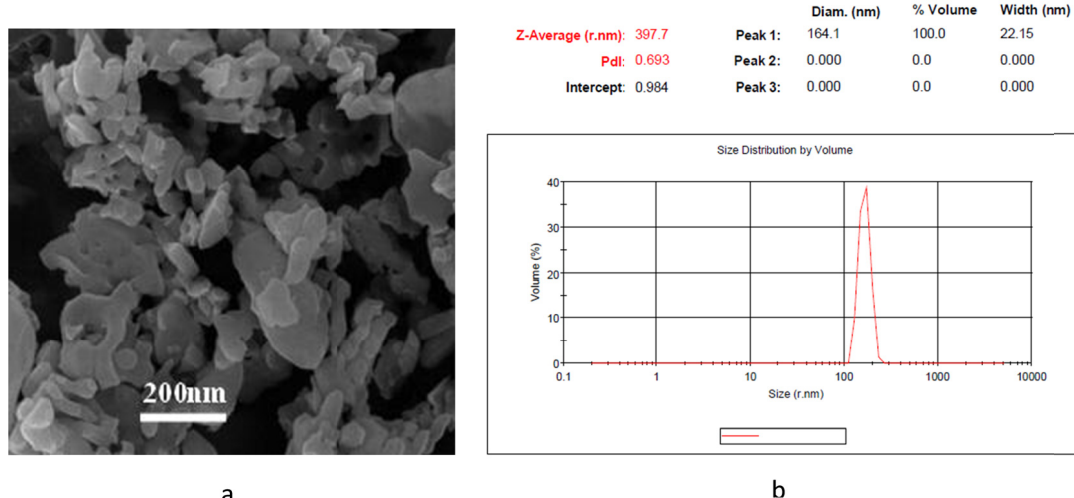
به منظور بررسی تشکیل کمی بیوفیلم از تست میکروتیترپلیت استفاده گردید و نتایج نشان داد که از میان ۱۵ سویه کلبسیلا پنومونیه، تمامی سویه های MDR (۱۰ سویه) تشکیل دهنده بیوفیلم بودند، بطوری که تعداد ۵ سویه تشکیل دهنده قوی بیوفیلم (۰٪)، ۳ سویه تشکیل دهنده بیوفیلم متوسط (۳۰٪) و ۲ سویه (۲۰٪) تشکیل دهنده بیوفیلم ضعیف بودند (شکل ۱).

تعیین ویژگی های فیزیکی و شیمیایی نانوذرات آلومینیوم

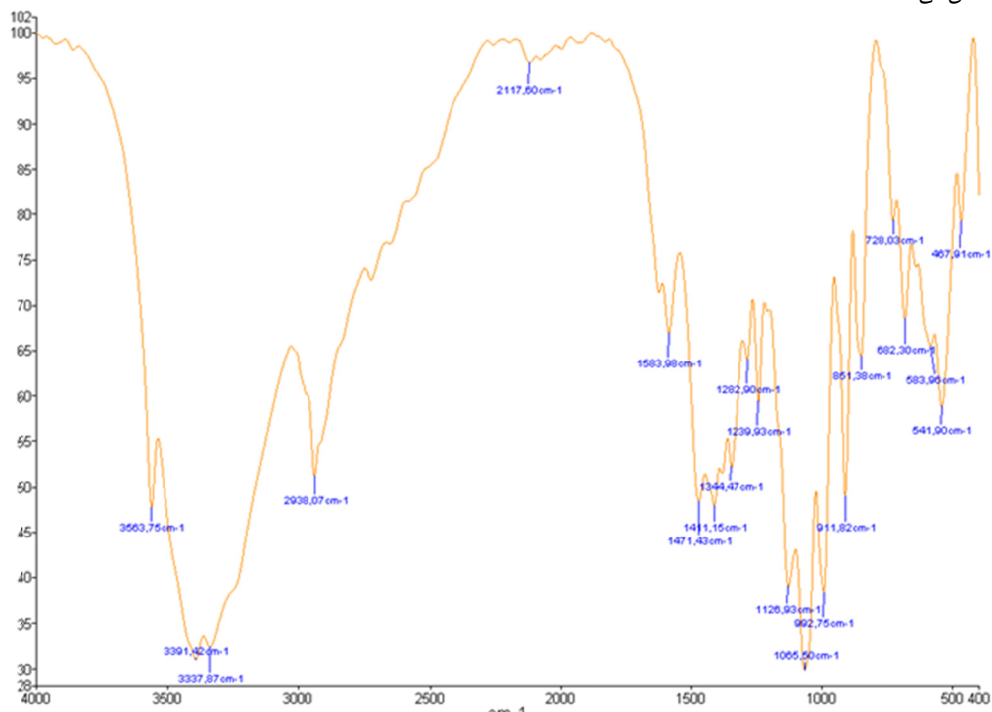
نتایج میکروسکوپ الکترونی نگاره و DLS نشان داد که نانوذرات آلومینیوم دارای ساختار چندوجهی و دارای میانگین اندازه 164 ± 1 نانومتر می باشد (شکل ۲). هم چنین نتایج FTIR پیوندهای شیمیایی مربوط به نانوذرات آلومینیوم را نشان داد (شکل ۳). پیک های Al-O-H در حالت اکتاہیدرال می باشد. هم چنین پیک های ۰۴۶، ۴۸۲ و ۵۸۳ نشان دهنده پیوندهای کششی Al-O-H در حالت تتراهیدرون و پیوند Al-O-H می باشد. نتایج XRD وجود پیک های $31/8$ ، $35/5$ ، $40/5$ و $47/98$ را نشان داد که تایید کننده نانوذرات آلومینیوم می باشد (شکل ۴).

بررسی اثرات ضد میکروبی و ضد بیوفیلمی نانوذرات آلومینیوم

در این مطالعه، به منظور بررسی اثرات ضد باکتریایی نانوذرات آلومینیوم علیه سویه های تشکیل دهنده



شکل ۲- (a): میکروگراف میکروسکوپ الکترونی نگاره که ساختار چندوجهی نانوذرات آلومینیوم را نشان می‌دهد و (b): DLS نانوذرات آلومینیوم که اندازه ۱۶۴/۱ نانومتر را نشان می‌دهد.



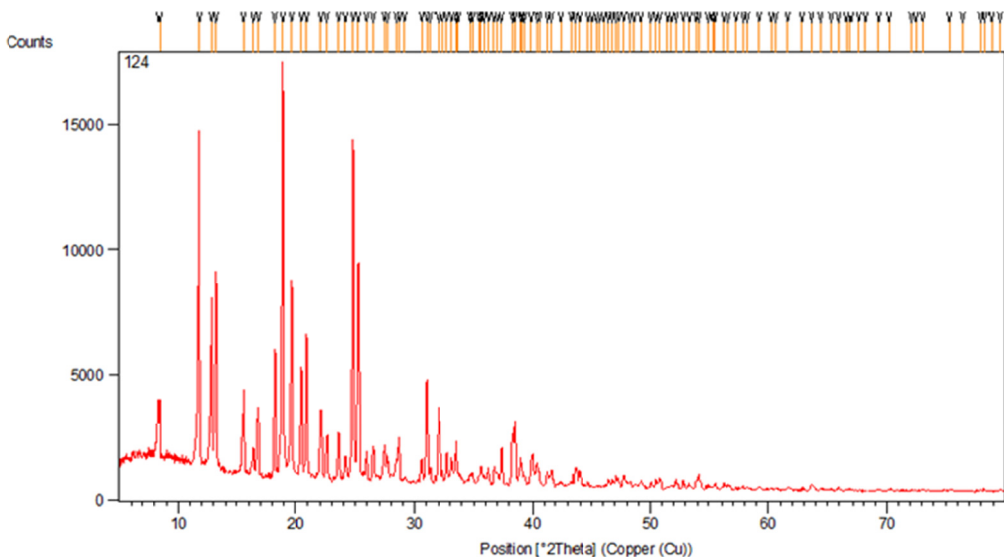
شکل ۳- FTIR نانوذرات آلومینیوم. پیک های ۳۳۹۱.۴۲ cm^{-۱} و ۲۹۳۸ cm^{-۱} نشان دهنده پیوندهای کششی Al-O در حالت اکتاہیدرال می باشد. هم چنین پیک های ۱۰۶۵ cm^{-۱} و ۷۲۸ cm^{-۱} به ترتیب نشان دهنده پیوندهای کششی Al-O در حالت تترაهیدرون و پیوند Al-O-H می باشد.

گروه کنترل کاهش پیدا کرده بود) ($P < 0.05$) (شکل ۵).

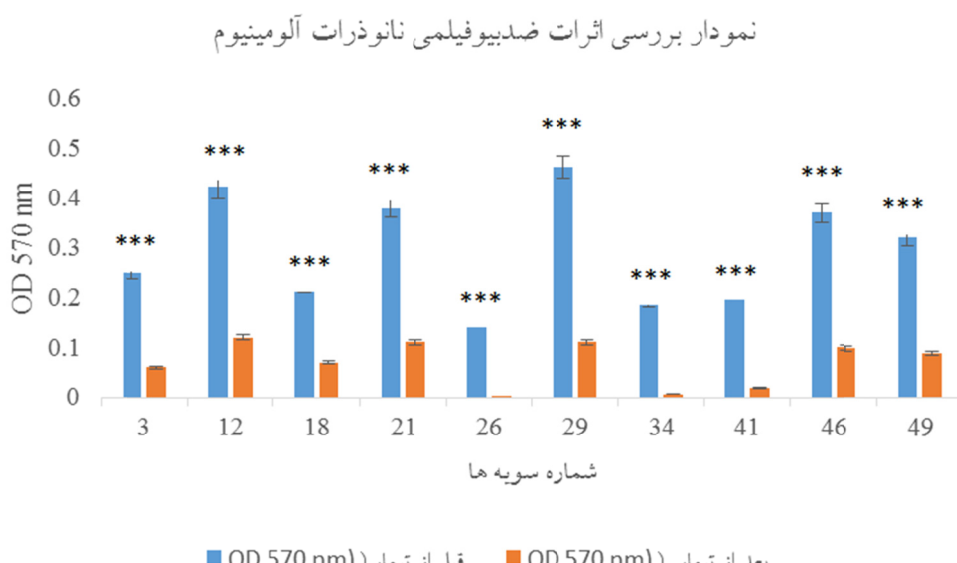
بررسی میزان بیان ژن بیوفیلم *mrkA*

به منظور بررسی اثرات نانوذرات آلومینیوم بر روی Real Time PCR *mrkA* از روش استفاده گردید. بدین منظور ابتدا سویه های تشکیل دهنده بیوفیلم تحت تاثیر غلظت های sub-MIC قرار

۲۰۰۰ میکروگرم در میلی لیتر خاصیت ضدمیکروبی داشتند (جدول ۲). هم چنین به منظور بررسی اثرات ضدبیوفیلمی نانوذرات آلومینیوم از روش میکروتیترپلیت استفاده شد. نتایج این تست نشان داد نانوذرات آلومینیوم در غلظت زیر حد مهار کنندگی (sub-MIC) بطور معناداری میزان تشکیل بیوفیلم را کاهش دادند (میزان جذب نوری بطور معناداری در مقایسه با



شکل ۴- XRD نانوذرات آلمینیوم. وجود پیک های $43/8$ ، $35/5$ ، $40/5$ ، $46/7$ و $47/98$ را نشان داد که تایید کننده نانوذرات آلمینیوم می باشد.

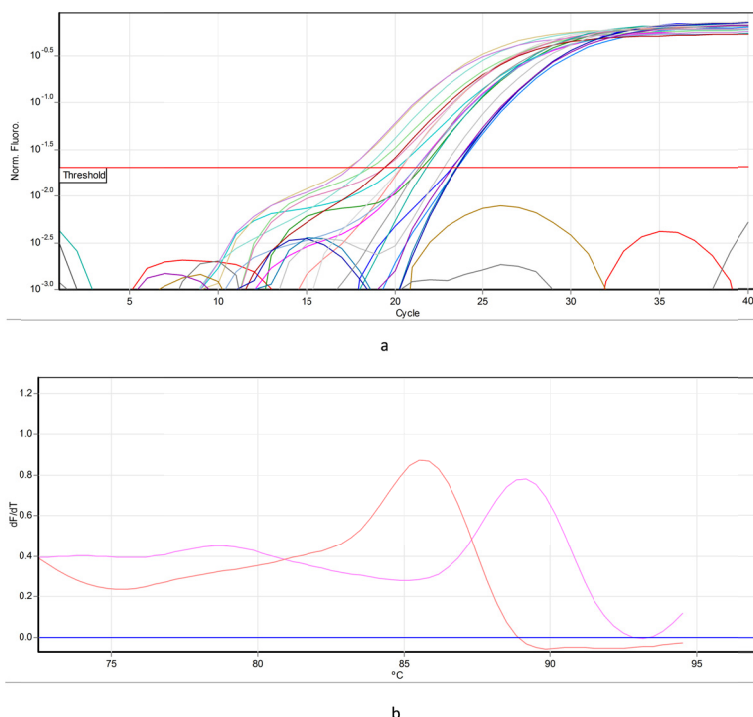


شکل ۵- بررسی اثرات خدیبوفیلمی نانوذرات آلمینیوم توسط روش میکرو تیتر پلیت. داده بصورت مقایسه با نمونه قبل از تیمار مقایسه شده اند ($P<0.001$). اختلاف معناداری با گروه قبل از تیمار (کنترل) ($n=3$) نتایج با آنالیز واریانس یک طرفه مورد بررسی قرار گرفت. ستون افق مربوط به شماره سویه های کلبسیلا پنومونیه و محور عمودی میزان جذب در طول موج ۵۷۰ نانومتر را نشان می دهد (میزان تشکیل بیوفیلم). ستون های با رنگ آبی مربوط به سویه های کلبسیلا پنومونیه قبل از تیمار با نانوذرات و ستون های با رنگ نارنجی مربوط به همان سویه ها بعد از تیمار با نانوذرات آلمینیوم می باشد.

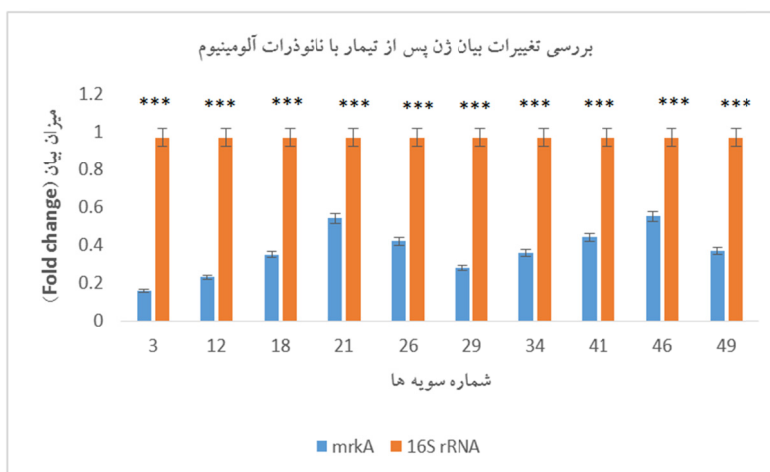
نسبت به ژن مرجع *16S rRNA* کاهش معناداری داشته است ($P<0.05$), بطوری که در برخی از سویه ها میزان بیان به میزان ۵ تا ۶ برابر کاهش یافته بود (شکل ۷).

بحث و نتیجه گیری
علی رغم تولید نسل های جدید آنتی بیوتیک علیه سویه های کلبسیلا پنومونیه، این باکتری هنوز به عنوان

گرفتند و میزان بیان ژن *mrkA* را مورد مطالعه قرار گرفت. نتایج نشان داد که تکثیر ژن به درستی صورت گرفته است و آنالیز منحنی ذوب نشان دهنده تکثیر ژن هدف می باشد (شکل ۶). هم چنان، پس از تیمار سویه های تشکیل دهنده بیوفیلم با غلظت زیر حد مهار کنندگی نانوذرات آلمینیوم میزان بیان ژن *mrkA* در تمامی سویه های تشکیل دهنده بیوفیلم



شکل ۶- a: نمودار تکثیر ژن *mrkA* و *16S rRNA* در نمونه های تیمار شده با نانوذرات آلومینیوم. b: آنالیز منحنی ذوب ژن *mrkA* و *16S rRNA* رنگ قرمز مربوط به ژن *mrkA* و رنگ بنفش مربوط به ژن *16S rRNA* می باشد.



شکل ۷- بررسی تغییرات بیان ژن پس از تیمار با نانوذرات آلومینیوم آلومنیوم روی بطور معناداری کاهش یافته اند ($P < 0.001$). اختلاف معناداری با گروه کنترل :: (n=3). نتایج با آنالیز واریانس یک طرفه مورد بررسی قرار گرفت. محور افقی شماره سویه های کلپسیلا پنومونیه و محور عمودی میزان بیان ژن مربوط به ژن کنترل و ستون آبی رنگ مربوط به ژن *mrkA* می باشد.

سویه های عفونت زای کلپسیلا پنومونیه مقاوم به چند دارو هستند (۱۹). هم چنین یکی از دلایل مقاوم به چند دارو بودن سویه های کلپسیلا پنومونیه تشکیل بیوفیلم می باشد، بطوریکه بیوفیلم ها مانع از ورود آنتی بیوتیک ها به درون ساختار بیوفیلم می شوند. بنابراین، محققان و شرکت های داروسازی در پی توسعه

یکی از مهمترین سویه های تشکیل دهنده عفونت های بیمارستانی با میزان مرگ و میر بالا مطرح می باشد (۱۸). در حال حاضر این باکتری به عنوان یکی از پاتوژن های جهانی مطرح می باشد که نسبت به چند دارو مقاوم بوده (MDR) بخصوص به آنتی بیوتیک های آمینو گلیکوزید و کوئینولون ها. بر طبق مطالعات، ۵۲٪ از

در ادامه اثرات ضدبیوفیلمی نانوذرات آلومینیوم علیه سویه‌های کلبسیلا پنومونیه تشکیل دهنده بیوفیلم مورد بررسی قرار گرفت. نتایج نشان داد که نانوذرات آلومینیوم در غلظت زیرحد مهارکنندگی دارای اثرات ضدبیوفیلمی معناداری نسبت به گروه کنترل بودند. نتایج مطالعه ما با بسیاری از مطالعات دیگر تشابه داشت. Chrzanowska و همکارانش اثرات ضدبیوفیلمی نانوذرات آلومینیوم را علیه سویه‌های تشکیل دهنده بیوفیلم و پلانکتونی سودوموناس پوتیدا و آئروموناس هیدروفیلا مورد مطالعه قرار دادند. نتایج این مطالعه نشان داد که نانوذرات آلومینیوم دارای اثرات ضدبیوفیلمی بوده بطوریکه مقاومت سویه‌های تشکیل دهنده بیوفیلم نسبت به نانوذرات بیشتر از سلول‌های پلانکتونی بودند (۲۳). مطالعات نشان داده است که اثرات ضدبیوفیلمی نانوذرات آلومینیوم دارای اثرات ضدبیوفیلمی در غلظت $1/6$ تا $3/2$ میلی گرم در میلی لیتر می‌باشد (۲۴). هم چنین تیمار ۲ میلی گرم در میلی لیتر از نانوذرات آلومینیوم از رشد سویه‌های تولید کننده آنزیم بتالاکتماز وسیع الطیف و متالوبتاکتماز بطور کامل مهار به عمل آورده می‌آورد (۲۵). مطالعات نشان داده است که اثرات ضدمیکروبی ارتباط مستقیمی با اثرات ضدبیوفیلمی دارد. هم چنین، نوع روش سنتز نانوذره، سایز و شکل آن در اثرات ضدمیکروبی و ضدبیوفیلمی دارد (۲۶).

مکانیسم اثرات ضدبیوفیلمی نانوذرات آلومینیوم در برخی از مطالعات به آن اشاره شده است. مطالعات نشان داده است که نانوذرات آلومینیوم ابتدا به سطح بیوفیلم متصل می‌شوند و به دنبال آن به داخل ساختار ماتریکس بیوفیلم مهاجرت می‌کنند. نوع اتصال نانوذرات به بیوفیلم به بار سطحی بیوفیلم و پتانسیل زتا نانوذره بستگی دارد. به محض ورود نانوذرات به داخل بیوفیلم باعث تخریب مکانیکی دیواره سلولی شده و استرس اکسیدانتیو را در سلول ایجاد کرده و عملکرد پروتئین‌های سلولی را مختل می‌کند (۲۷).

یکی از اهداف این مطالعه بررسی اثرات نانوذرات آلومینیوم بر بیان ژن بیوفیلم *mrkA* بود. نتایج نشان داد که نانوذرات آلومینیوم میزان بیان ژن بیوفیلم *mrkA* بطور معناداری نسبت به ژن مرجع کاهش داده است. به نظر می‌رسد یکی از مکانیسم‌های کاهش بیان

جدول ۲ - میزان MIC نانوذرات آلومینیوم علیه سویه‌های تشکیل دهنده بیوفیلم

شماره سویه	غلاخت MIC (میکروگرم)	Sub-MIC (میکروگرم در میلی لیتر)	غلاخت Sub-MIC (میکروگرم در میلی لیتر)
۳	۱۰۰۰	۵۰۰	
۱۲	۱۰۰۰	۵۰۰	
۱۸	۲۰۰۰	۱۰۰۰	
۲۱	۱۰۰۰	۵۰۰	
۲۶	۵۰۰	۲۵۰	
۲۹	۱۰۰۰	۵۰۰	
۳۴	۲۰۰۰	۱۰۰۰	
۴۱	۵۰۰	۲۵۰	
۴۶	۱۰۰۰	۵۰۰	
۴۹	۲۰۰۰	۱۰۰۰	

راهکارهای جدید جهت درمان این باکتری می‌باشند (۲۰). یکی از این راهکارها، استفاده از تکنولوژی نانو و نانوذرات فلزی می‌باشد. یکی از این نانوذرات، نانوذرات آلومینیوم می‌باشد که رفتار ضدمیکروبی آن در بسیاری از مقالات مورد مطالعه قرار گرفته است (۲۱). در این مطالعه نانوذرات آلومینیوم ابتدا توسط روش‌های میکروسکوپ الکترونی نگاره، DLS و FTIR تعیین ماهیت شدند و به دنبال آن اثرات ضدمیکروبی آن علیه سویه‌های کلبسیلا پنومونیه مورد مطالعه قرار گرفت. نتایج نشان داد که نانوذرات آلومینیوم دارای اثرات ضدمیکروبی معناداری علیه سویه‌های کلبسیلا پنومونیه بودند بطوریکه میزان MIC بین ۵۰۰ تا ۲۰۰۰ میکروگرم در میلی لیتر بود و هیچ گونه ارتباطی بین سویه‌های تشکیل دهنده قوی بیوفیلم و غلاخت MIC وجود نداشت و این نشان دهنده ورود تسهیل شده نانوذرات آلومینیوم به درون ساختار بیوفیلم و مرگ سول‌های باکتریایی بود. Sawai و همکارانش نشان دادند که نانوذرات آلومینیوم در غلظت‌های $۶۲/۵$ و ۲۵۰ میلی گرم در لیتر بر روی سویه‌های اشرشیا کلی خاصیت مهارکنندگی دارد. مطالعات نشان می‌دهد که نانوذرات آلومینیوم نه تنها به سطح غشای سلولی متصل می‌شوند بلکه به داخل سلول‌های میکروبی نفوذ می‌کنند و در غشای باکتری حفره ایجاد می‌کنند. ایجاد حفره در غشا باعث افزایش نفوذپذیری غشا شده و در ادامه تنظیم ورود و خروج مختل شده و مرگ سلول اتفاق می‌افتد (۲۲).

Zagieboyo AP. Adaptive evolution of virulence and persistence in carbapenem-resistant *Klebsiella pneumoniae*. Nat Med. 2020;26(5):705-711.

3. Yang X, Dong N, Chan EW, Zhang R, Chen S. Carbapenem resistance-encoding and virulence-encoding conjugative plasmids in *Klebsiella pneumoniae*. Trends Microbiol. 2021;29(1):65-83.

4. Liao W, Liu Y, Zhang W. Virulence evolution, molecular mechanisms of resistance and prevalence of ST11 carbapenem-resistant *Klebsiella pneumoniae* in China: A review over the last 10 years. J Glob Antimicrob Resist. 2020;23:174-180.

5. Ashurst JV, Dawson A. Klebsiella Pneumonia. 2021. In: StatPearls [Internet]. Treasure Island (FL): StatPearls Publishing.

6. Sá-Pessoa J, Przybyszewska K, Vasconcelos FN, Dumigan A, Frank CG, Hobley L, Bengoechea JA. Klebsiella pneumoniae Reduces SUMOylation To Limit Host Defense Responses. mBio. 2020;11(5):e01733-20.

7. Fang R, Liu H, Zhang X, Dong G, Li J, Tian X, Wu Z, Zhou J, Cao J, Zhou T. Difference in biofilm formation between carbapenem-resistant and carbapenem-sensitive *Klebsiella pneumoniae* based on analysis of *mrkH* distribution. Microb Pathog. 2021;152:104743.

8. Shumail H, Khalid S, Ahmad I, Khan H, Amin S, Ullah B. A Review on green synthesis of silver nanoparticles through plants. Endocr Metab Immune Disord Drug Targets. 2020;29:2-13.

9. AlNadhari S, Al-Enazi NM, Alshehrei F, Ameen F. A review on biogenic synthesis of metal nanoparticles using marine algae and its applications. Environ Res. 2021;194:110672.

10. Liubov Shkodenko, Ilia Kassirov, Elena Koshel. Metal Oxide Nanoparticles Against Bacterial Biofilms: Perspectives and Limitations. Microorganisms. 2020;8(10):1545.

11. Rabajczyk A, Zielecka M, Cygańczuk K, Pastuszka Ł, Jurecki Ł. Nanometals-Containing Polymeric Membranes for Purification Processes. Materials (Basel). 2021;14(3):513.

12. Mohammad Azam Ansari, Haris M. Khan, Aijaz A. Khan, Ruchita Pal & Swaranjit Singh Cameotra. Antibacterial potential of Al₂O₃ nanoparticles against multidrug resistance strains of *Staphylococcus aureus* isolated from skin exudates. J Nano Res. 2013;15:1970.

13. Li G, Shi J, Zhao Y, Xie Y, Tang Y, Jiang X, Lu Y. Identification of hypervirulent *Klebsiella pneumoniae* isolates using the string test in combination with *Galleria mellonella* infectivity. Eur J Clin Microbiol Infect Dis. 2020;39(9):1673-1679.

14. Hsueh PR, Ko WC, Wu JJ, Lu JJ, Wang FD, Wu HY, et al. Consensus statement on the adherence to clinical and laboratory standards institute (CLSI) antimicrobial susceptibility testing guidelines (CLSI-2010 and CLSI-2010-update) for Enterobacteriaceae

ژن بیوفیلم *mrkA* بر هم کنش نانوذرات آلومینیوم با فاکتورهای رونویسی میزبان می باشد که باعث کاهش رونویسی ژن *mrkA* می شود. مطالعات مختلفی در زمینه بررسی اثرات نانوذرات فلزی بر بیان ژن بیوفیلم انجام شده است. نوید کلهر و همکارانش اثرات ضدبیوفیلمی نانوذرات اکسید روی را بر روی ایزوولههای کلبسیلا پنومونیه مورد مطالعه قرار دادند. نتایج این مطالعه نشان داد که نانوذرات اکسید روی میزان بیان ژن بیوفیلم *wzm* را به طور معناداری (۵ برابر) در سویلهای کلبسیلا پنومونیه کاهش داده است که مشابه با نتایج ما بوده است (۲۸). Khosravi و همکارانش اثرات ضدبیوفیلمی نانوذرات طلا و هم چنین تاثیر آن بر بیان ژن بیوفیلم را در سویلهای کلبسیلا پنومونیه مورد مطالعه قرار دادند. نتایج این مطالعه نشان داد که نانوذرات طلا دارای اثرات معنادار ضدبیوفیلمی بوده و میزان بیان ژن های بیوفیلم *mrkA* و *wzm* را کاهش می دهد که منطبق با نتایج مطالعه ما بوده است (۲۹).

نتایج این مطالعه نشان داد که نانوذرات آلومینیوم دارای اثرات ضدمیکروبی و ضدبیوفیلمی علیه سویلهای کلبسیلا پنومونیه مقاوم به دارو می باشد و میتواند بیان ژن بیوفیلم را کاهش دهد. بنابراین میتوان از این نانوذره به عنوان کاندید ماده ضدمیکروب و ضدبیوفیلم جهت مطالعات آینده استفاده نمود.

تقدیر و تشکر

این مقاله حاصل پایان نامه کارشناسی ارشد با کد اخلاق ۲۵.۱۹۶ IR.IAU. TMB.REC. می باشد. محققان این مقاله از همکاران آزمایشگاه های بیمارستان کمک کننده که در جمع آوری و کشت اولیه نمونه ها ما را یاری نمودند و هم چنین از زحمات بی دریغ پرسنل آزمایشگاه میکروب شناسی دانشگاه آزاد اسلامی واحد رودهن، کمال تشکر و قدردانی را داریم.

References

- Wang G, Zhao G, Chao X, Xie L, Wang H. The characteristic of virulence, biofilm and antibiotic resistance of *Klebsiella pneumoniae*. Int J Environ Res Public Health. 2020;17(17):6278.
- Ernst CM, Braxton JR, Rodriguez-Osorio CA,

- in clinical microbiology laboratories in Taiwan. *J Micro Immun Infect.* 2010;43(5):452-5.
15. Jin-xin Zheng, Zhi-wei Lin. Biofilm formation in *Klebsiella pneumoniae* bacteremia strains was found to be associated with CC23 and the presence of wcaG. *Front Cell Infect Microbiol.* 2018;8:21.
 16. Dube P, Meyer S, Madiehe A, Meyer M. Antibacterial activity of biogenic silver and gold nanoparticles synthesized from *Salvia africana-lutea* and *Sutherlandia frutescens*. *Nanotechnology.* 2020;31(50):505607.
 17. Porter GC, Tompkins GR, Schwass DR, Li KC, Waddell JN, Meledandri CJ. Anti-biofilm activity of silver nanoparticle-containing glass ionomer cements. *Dent Mater.* 2020;36(8):1096-1107.
 18. Yang X, Dong N, Chan EW, Zhang R, Chen S. Carbapenem resistance-encoding and virulence-encoding conjugative plasmids in *Klebsiella pneumoniae*. *Trends Microbiol.* 2021;29(1):65-83.
 19. Wang G, Zhao G, Chao X, Xie L, Wang H. The characteristic of virulence, biofilm and antibiotic resistance of *Klebsiella pneumoniae*. *Int J Environ Res Public Health.* 2020;17(17):6278.
 20. Siddique MH, Aslam B, Imran M, Ashraf A, Nadeem H, Hayat S, Khurshid M, Afzal M, Malik IR, Shahzad M, Qureshi U, Khan ZUH, Muzammil S. Effect of silver nanoparticles on biofilm formation and EPS production of multidrug-resistant *Klebsiella pneumoniae*. *Biomed Res Int.* 2020;2020:6398165.
 21. Denes E, Barrière G, Poli E, Lévéque G. Alumina Biocompatibility. *J Long Term Eff Med Implants.* 2018;28(1):9-13.
 22. Sawai J, Kojima H, Igarashi H, Hashimoto A, Shoji S, Sawaki T, Hakoda A, Kawada E, Kokugan T, Shimizu M. Antibacterial characteristics of magnesium oxide powder. *World J. Microbiol. Biotechnol.* 2000;16:187–194.
 23. Chrzanowska N, Załecka-Radziwiłł M. The impacts of aluminum and zirconium nano-oxides on planktonic and biofilm bacteria. *Desalin. Water Treat.* 2014;52:3680–3689.
 24. Ansari M.A, Khan HM, Alzohairy MA, Jalal M, Ali SG, Pal R, Musarrat J. Green synthesis of Al_2O_3 nanoparticles and their bactericidal potential against clinical isolates of multi-drug resistant *Pseudomonas aeruginosa*. *World J. Microbiol Biotechnol.* 2015;31:153–164.
 25. Malka E, Perelshtein I, Lipovsky A, Shalom Y, Naparstek L, Perkas N, Patnick T, Lubart R, Nitzan Y, Banin E. Eradication of multi-drug resistant bacteria by a novel zn-doped CuO nanocomposite. *Small.* 2013;9:4069–4076.
 26. Anaya-Esparza LM, González-Silva N, Yahia EM, González-Vargas OA, Montalvo-González E, Pérez-Larios A. Effect of TiO₂-ZnO-MgO mixed oxide on microbial growth and toxicity against *Artemia salina*. *Nanomaterials.* 2019;9:992.
 27. Sadiq IM, Chowdhury B, Chandrasekaran N, Mukherjee A. Antimicrobial sensitivity of *Escherichia coli* to alumina nanoparticles. *Nanomed. Nanotechnol. Biol. Med.* 2009;5:282–286.
 28. Kalhor N, Mirzaie A, Hamdi SMM. Antibiofilm effects of zinc oxide nanoparticles synthesized by leaf extract of *Typha latifolia* on biofilm gene expression in multidrug-resistant *Klebsiella pneumoniae* strains. *J Rafsanjan Uni Med Sci.* 2021;20:3-22.
 29. Khosravi M, Mirzaie A, Kashtali AB, Noorbazargan H. Antibacterial, anti-efflux, anti-biofilm, anti-slime (exopolysaccharide) production and urease inhibitory efficacies of novel synthesized gold nanoparticles coated Anthemis atropatana extract against multidrug-resistant *Klebsiella pneumoniae* strains. *Arch Microbiol.* 2020;202(8):2105-2115.